

АКАДЕМИЯ НАУК СССР  
СИБИРСКОЕ ОТДЕЛЕНИЕ  
ИНСТИТУТ ФИЗИКИ им. Л. В. КИРЕНСКОГО

Препринт ИФСО-125б

В.Ф.Шабанов, В.И.Рубайло, А.Н.Вторин

ТЕОРЕТИКО-ГРУППОВОЙ АНАЛИЗ СПЕКТРОВ  
КОМБИНАЦИОННОГО РАССЕЯНИЯ НЕСОРАЗМЕРНЫХ ФАЗ

Красноярск, 1980

Предложен метод теоретико-группового анализа спектров комбинационного рассеяния несоразмерных фаз кристаллов. Выведены правила отбора для несоразмерных фаз  $K_2SeD_4$  и  $(NH_4)_2BeF_4$ .

Ответственный за выпуск Вторин А.Н.

© Институт физики, Красноярск, 1980г.

### § I. Введение

Достигнутые в последние годы успехи в области спектроскопии кристаллов обусловлены прежде всего развитием экспериментальных методов. Поляризационная лазерная спектроскопия комбинационного рассеяния света (ИКС) позволила с большой точностью определить степени деполяризации линий и на основании этих данных проверить применимость той или иной модели, описывающей строение и свойства вещества.

Следует отметить, что для идеальных кристаллов выведены с помощью теории групп правила отбора и разработаны методы отождествления и расчёта частот фононов. В реальных кристаллах, особенно кристаллах с молекулярными группами, имеют место различные отклонения от идеальной решётки. Симметрия такого кристалла не может быть описана федоровской пространственной группой, поскольку его структура неоднородна [1]. Однако эту структуру можно привести к однородной путём введения новых дополнительных координат, которые являются внутренними степенями свободы модели и характеризуют величину искажения идеальной решётки. Функция распределения плотности реального кристалла имеет вид:

$$\rho(\vec{R}) = \rho_{\text{од.}}(\vec{R}) + \delta\rho(\vec{R}), \quad (I.1)$$

где  $\delta\rho(\vec{R})$  описывает распределение дефектов или искажений решётки по кристаллу. Важно отметить, что симметрия системы при этом не утрачивается, а переходит из одного вида в другой [2]. Таким образом, свойства разупорядоченных систем можно описывать в терминах групп позиционной симметрии, или симметрии физических систем с внутренними степенями свободы. Конечно, многие результаты при описании физических свойств реальных кристаллов могут быть получены и при классическом подходе. Однако такие вычисления зачастую очень усложнены и физически менее наглядны.

В настоящей работе мы рассмотрим метод разделения колебаний решётки по типам симметрии и вывод правил отбора для ИРС в модулированных структурах.

## § 2. Структура и симметрия несоразмерных фаз.

Рассмотрим несоразмерную фазу кристалла. Его атомы или жёсткие молекулярные группировки  $\alpha$  (их внутренними степенями свободы мы в дальнейшем для простоты рассмотрения пренебрежём) смещены от соразмерных положений  $\bar{R}_0(\vec{n}, \infty)$  в точки:

$$\bar{R}(\vec{n}, \infty) = \bar{R}_0(\vec{n}, \infty) + \sum_{\vec{q}} \bar{f}(\vec{q}, \infty) \exp i \vec{q} \vec{n}. \quad (2.1)$$

Здесь  $\vec{n}$  — номер элементарной ячейки решётки  $\Lambda$  исходной фазы, а векторы  $\vec{q}$  можно представить в виде:

$$\vec{q} = \sum_{\alpha=1}^d \ell_{\alpha} \vec{a}_{\alpha}^*, \quad \ell_{\alpha} \text{ — целое.} \quad (2.2)$$

При  $d=1$  модуляция одномерна, что соответствует большинству известных в настоящее время несоразмерных фаз сегнетоэлектриков. Векторы  $\vec{a}_{\alpha}^*$  можно выразить через базисные векторы  $\vec{a}_i^*$  решётки  $\Lambda^*$ :

$$\vec{a}_{\alpha}^* = \sum_{i=1}^3 \sigma_{\alpha i} \vec{a}_i^*. \quad (2.3)$$

Для того, чтобы модуляция была несоразмерной, по крайней мере один из членов матрицы  $\sigma$  должен быть иррационален. Как было предложено в [3], для описания симметрии структуры (2.1), построим  $(3+d)$ -мерное евклидово пространство, образованное векторами  $\{\vec{a}_i\}$  и  $\{\vec{b}_{\alpha}\}$ . Ортогональное дополнение  $\{\vec{b}_{\alpha}\}$  образует  $d$ -мерную решётку  $D$  в евклидовом

пространстве  $V_i$ . В полученном расширенном пространстве  $V_3 \oplus V_i$  построим решётку  $\Sigma$ , образованную следующим базисом  $(3+d)$ -мерных векторов:

$$\begin{aligned} \underline{a}_i &= (\vec{a}_i; -\sum_{\alpha} \sigma_{\alpha i} \vec{b}_{\alpha}^*), \\ \underline{a}_{\alpha} &= (0; \vec{b}_{\alpha}^*). \end{aligned} \quad (2.4)$$

Трансляция по решётке  $\Sigma$  положения (2.1) образует систему точек в полученном пространстве, непрерывную на  $d$ -мерных плоскостях. В [4] эта система была названа суперкристаллом. На рис. I показано расширенное пространство  $V_3 \oplus V_i$  для одномерной модулированной цепочки. Точки суперкристалла задаются выражением:

$$\bar{R}(\vec{n}, \infty, \vec{\tau}) = (\bar{R}_0(\vec{n}, \infty) + \sum_{\vec{q}} \bar{f}(\vec{q}, \infty) \exp(i \vec{q} \vec{n} + i \vec{q}^* \vec{\tau}); \vec{\tau}). \quad (2.5)$$

Здесь  $\vec{\tau} \in V_i$  — произвольный  $d$ -мерный вектор, и вектор  $\vec{q}^*$  однозначно определяется  $\vec{q}$ , как будет показано ниже. При  $d=1$  псевдоскаляр  $\tau$  можно интерпретировать как фазу волны модуляции. Базис решётки  $\Sigma^*$ :

$$\begin{aligned} \underline{a}_i^* &= (\vec{a}_i^*, 0); \\ \underline{a}_{\alpha}^* &= (\sum_i \sigma_{\alpha i} \vec{a}_i^*, \vec{b}_{\alpha}^*) = \\ &= (\vec{a}_{\alpha}^*, \vec{b}_{\alpha}^*). \end{aligned} \quad (2.6)$$

Проекция спектра (2.5) на  $V_3$  совпадает с фурье-образом трёхмерного модулированного кристалла (2.1), причём это проецирование является взаимно-однозначным. Следовательно, с учётом (2.2), имеется взаимно-однозначное соответствие между векторами  $\vec{q}$  и  $\vec{q}^*$ :

$$\vec{q} = \sum_{\alpha} \ell_{\alpha} \vec{a}_{\alpha}^* \rightarrow \sum_{\alpha} \ell_{\alpha} \vec{b}_{\alpha}^* = \vec{q}^*, \quad (2.7)$$

что в дальнейшем обозначается:

$$a^* b^* = q,$$

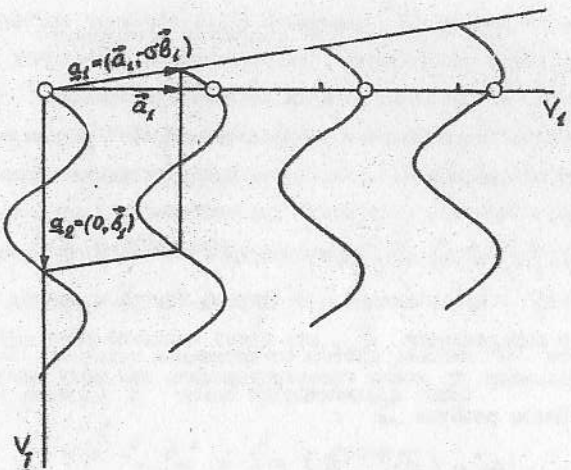


Рис. I.

Построение пространства  $V_1 \oplus V_1$  для одномерно модулированной линейной цепочки атомов.

- 6 -

где  $\Delta^*$  - оператор проецирования в обратном пространстве. Подобным образом можно установить взаимно-однозначное соответствие между точками  $\Sigma$  и её проекцией на  $V_\alpha$ :

$$\tilde{n} = \sum_i n_i \tilde{a}_i \mapsto \sum_i n_i \sum_a \sigma_{ai} \tilde{b}_a = \alpha \tilde{n}. \quad (2.9)$$

Группа симметрии суперкристалла есть  $(3+d)$ -мерная пространственная группа  $G$ , образованная элементами  $(g_3, g_1)$  [5,6] (см. Приложение).

Метод получения представлений  $G$  аналогичен трехмерному случаю. Представление подгруппы трансляций характеризуется  $(3+d)$ -мерным вектором  $\kappa \in \Sigma^*$ :

$$\kappa = (\vec{R}_b, \vec{\kappa}_I). \quad (2.10)$$

Так как точечные группы  $G$  изоморфны трехмерным точечным группам, то все эти представления известны (см., например, [7]).

### § 3. Симметрия колебаний решетки.

Мгновенные отклонения атомов от их равновесных положений (2.1), обусловленные тепловыми колебаниями, в момент времени  $t$  описываются полем векторов:

$$\vec{u}(\vec{n}, \omega, t). \quad (3.1a)$$

Тогда в  $(3+d)$ -мерном пространстве положения колеблющихся атомов задаются:

$$(\vec{R}_0(\vec{n}, \omega) + \sum_q f(q, \omega) \exp(iq\vec{n} + i\vec{\theta}^* t) + \vec{u}(\vec{n}, \omega, \vec{t}, t); \vec{t}). \quad (3.1b)$$

Поле векторов смещений можно характеризовать представлением подгруппы трансляций  $\Sigma$ . Чтобы определить это представление, подействуем элементом  $g \in \Sigma$ , где

$$g = (\vec{n}, \vec{\theta} \cdot \alpha \vec{n}); \quad \vec{\theta} = \sum_a \theta_a \vec{b}_a,$$

- 7 -

на (3.1). Получим:

$$\tilde{R}(\vec{n}, \omega) + \vec{n}' \cdot \sum_{\vec{q}} \tilde{f}(\vec{q}, \omega) \exp[i\vec{q}\vec{n} + i\vec{\theta}^*(\vec{\theta} - \Delta\vec{n}')] = \tilde{R}(\vec{n} + \vec{n}', \omega) + \sum_{\vec{q}} \tilde{f}(\vec{q}, \omega) \exp[i\vec{q}(\vec{n} + \vec{n}')] + \tilde{u}(\vec{n}, \omega, t). \quad (3.2)$$

Здесь  $\tilde{u}(\vec{n}, \omega) \in V_3$ . Тогда в этом представлении характер трансляции  $\underline{q}$  равен:

$$\chi(\underline{q}) = \begin{cases} 0 & \text{при } \vec{n} \neq 0, \\ 3Ns & \text{при } \vec{n} = 0, \end{cases} \quad (3.3)$$

где  $N$  - число элементарных ячеек и  $s$  - число атомов (и жестких молекулярных групп) в ячейке исходной фазы. Кратность представления  $\Sigma$ , характеризуемого вектором  $\underline{k}$ :

$$\mu_n = \frac{1}{N} \sum_{\underline{q}} \chi(\underline{q}) \exp[i\underline{k} \cdot \underline{q}] = 0 \text{ если } \vec{k}_y \neq 0. \quad (3.4)$$

Это означает, что поле смещений  $\tilde{u}$  можно характеризовать волновыми векторами  $\vec{k} = \sum_i k_i \hat{e}_i$  первой зоны Бриллюэна исходной фазы.

#### § 4. Динамика решетки.

Если разложить потенциальную энергию кристалла в ряд по малым смещениям  $\tilde{u}(\vec{n}, \omega, \vec{\tau}, t)$ , то, ограничившись членами второго порядка малости, получим:

$$F(\vec{\tau}) = \sum_{ij} F_{ij}^{(2)}(\vec{n}, \omega, \vec{n}', \omega, \vec{\tau}) U_i(\vec{n}, \omega, \vec{\tau}) U_j(\vec{n}', \omega, \vec{\tau}), \quad (4.1)$$

где суммирование идет по повторяющимся индексам. Учитывая трансляционную симметрию суперкристалла, получим:

$$F_{ij}^{(2)}(\vec{n}, \omega, \vec{n}', \omega, \vec{\tau}) = \varphi_{ij}(\vec{n} - \vec{n}', \omega, \omega', \vec{\tau} + \Delta\vec{n}), \quad (4.2)$$

причем  $\varphi$  должно быть инвариантно относительно преобразований

точечной группы  $G$ . Уравнение движения с учетом (4.2) имеет

вид:

$$m(\omega) \ddot{U}_i(\vec{n}, \omega, \vec{\tau}, t) = - \sum_j \varphi_{ij}(\vec{n} - \vec{n}', \omega, \omega', \vec{\tau} + \Delta\vec{n}) U_j(\vec{n}', \omega', \vec{\tau}, t). \quad (4.3)$$

Его решения есть суперпозиции нормальных колебаний, которые можно охарактеризовать неприводимыми представлениями группы  $G$ . Как было показано в § 3, характеристический вектор  $\underline{M}$  можно выбрать из зоны Бриллюэна исходной фазы, и, следовательно, нормальную моду можно представить в виде:

$$\tilde{u}(\vec{n}, \omega, \vec{\tau}, t) = \frac{1}{\sqrt{m(\omega)}} \tilde{u}(\omega, \vec{\tau} + \Delta\vec{n}) \exp(i\omega t - i\vec{k}\vec{n}) \quad (4.4)$$

где  $\tilde{u}(\omega, \vec{\tau})$  периодично по решетке  $D$ :

$$\tilde{u}(\omega, \vec{\tau}) = \tilde{u}(\omega, \vec{\tau} + \vec{\delta}).$$

Подставив (4.4) в (4.3), получим:

$$\omega^2 U_i(\omega, \vec{\tau}) = \sum_j \frac{1}{\sqrt{m(\omega)m(\omega')}} \varphi_{ij}(\vec{n}, \omega, \omega', \vec{\tau}) \cdot \\ \cdot U_j(\omega, \vec{\tau} + \Delta\vec{n}) \exp(-i\vec{k}\vec{n}). \quad (4.5)$$

Число уравнений (4.5) бесконечно, так как периоды  $\vec{\tau}$  и  $\Delta\vec{n}$  несоразмерны.

Так как  $\tilde{u}(\omega, \vec{\tau})$  и  $\varphi(\vec{n}, \omega, \omega', \vec{\tau})$  периодичны по  $\vec{\tau}$ , то их можно разложить в ряды Фурье:

$$\varphi_{ij}(\vec{n}, \omega, \omega', \vec{\tau}) = \sum_{\vec{\theta}''} \phi_{ij}(\vec{n}, \omega, \omega', \vec{\theta}'') \exp(i\vec{\theta}'' \cdot \vec{\tau}), \quad (4.6a)$$

$$U_i(\omega, \vec{\tau}) = \sum_{\vec{\theta}''} U_i(\omega, \vec{\theta}'') \exp(i\vec{\theta}'' \cdot \vec{\tau}). \quad (4.6b)$$

Тогда, подставив (4.6) в (4.5), получим:

$$\omega^2 U_i(\omega, \vec{\theta}'') = \sum_{\vec{\theta}'', \omega''} D_{ij}(\vec{\theta}' - \vec{\theta}'', \omega, \omega', \vec{\theta}' - \vec{\theta}'') U_j(\omega', \vec{\theta}''), \quad (4.7)$$

где

$$D_{ij}(\vec{n}, \omega, \omega', \vec{\theta}'') = \sum_{\vec{n}} \frac{1}{\sqrt{m(\omega)m(\omega')}} \phi_{ij}(\vec{n}, \omega, \omega', \vec{\theta}'') \exp(-i\vec{k}\vec{n}). \quad (4.8)$$

Тривиальными решениями (4.7) являются акустические фононы:

$$\tilde{U}(\tilde{n}, \tilde{\theta}^*) = \tilde{c}_i \delta(\tilde{\theta}^*), \quad (4.9a)$$

где  $\tilde{c}_i$  - вектор, параллельный  $\tilde{a}_i$ , и фазоны:

$$\tilde{U}(\tilde{n}, \tilde{\theta}^*) = \tilde{f}(\tilde{n}, \infty) \exp(-i\tilde{\theta}_a^* \tilde{c}_a) - 1], \quad (4.9b)$$

где  $\tilde{c}_a$  - вектор, параллельный  $\tilde{b}_a$ .

#### 4.1. Случай малой амплитуды модуляции.

Предположим, что для модулированного кристалла можно записать:

$$\varphi(\tilde{n}, \alpha, \alpha'; \tilde{\tau}) = \varphi(\tilde{n}, \alpha, \alpha') + \epsilon \varphi''(\tilde{n}, \alpha, \alpha'; \tilde{\tau}), \quad \epsilon \ll 1. \quad (4.10)$$

Это значит, что потенциальный рельеф атомов кристалла мало искается при модуляции. Тогда собственные значения и собственные векторы (4.5) можно представить в виде степенных рядов:

$$\omega^2 = \omega_0^2 + \epsilon \omega_1^2 + \dots \quad (4.11)$$

$$\begin{aligned} \tilde{U}_i(\lambda, \alpha, \tilde{\theta}^*) &= \tilde{U}_i^{(0)}(\lambda, \alpha, \tilde{\theta}^*) + \\ &+ \sum c_{ij}(\tilde{\theta}^*, \lambda, \tilde{\theta}'^*, \lambda') \tilde{U}_j(\lambda', \alpha, \tilde{\theta}'^*) \exp(\tilde{\theta}'^* - \tilde{\theta}^*) / \tilde{\tau}, \end{aligned} \quad (4.12)$$

где  $\lambda$  - номер собственного вектора (4.5) и  $\tilde{U}_i^{(0)}(\lambda, \alpha, \tilde{\theta}^*)$  - решения (4.5) в нулевом порядке теории возмущений.

Матричный элемент возмущения:

$$\begin{aligned} \langle \tilde{\theta}^*, \lambda / \varphi'' / \tilde{\theta}'^*, \lambda' \rangle &= \\ &= \frac{1}{V} \int d\tilde{r} \sum_{\tilde{n}, \alpha, \alpha'} e_i(\alpha, \tilde{n}, \alpha' \cdot \tilde{\theta}^*, \lambda) g_{ij}^{(0)}(\tilde{n}, \alpha, \alpha'; \tilde{\tau}) e_j(\alpha', \tilde{n}, \alpha' \cdot \tilde{\theta}'^*, \lambda'), \\ &\quad \cdot \exp[i(\tilde{\theta}^* - \tilde{\theta}'^*) \tilde{\tau} - i(\tilde{n} \cdot \alpha \cdot \tilde{\theta}^*) \tilde{n}], \end{aligned} \quad (4.13)$$

где  $\tilde{e}$  - базисные векторы поля смещений.

В первом порядке по  $\epsilon$  имеем:

$$\omega_1 = 0 \quad (4.14a)$$

и во втором:

$$\begin{aligned} \omega_2^2(\lambda, \tilde{\theta}^*) &= \sum [K(\tilde{\theta}^*, \lambda) / V^2 / \tilde{\theta}'^* \lambda']^2 \\ &\times [\omega_0^2(\lambda, \tilde{\theta}^*) - \omega_0^2(\lambda', \tilde{\theta}'^*)]^{-2}. \end{aligned} \quad (4.14b)$$

Более подробно применение теории возмущений при расчете динамики решетки модулированного кристалла рассмотрено в [8-10].

#### § 5. Симметрия нормальных колебаний несопоставимой фазы кристалла.

##### 5.1. Классификация нормальных мод по неприводимым представлениям.

Как было показано ранее, представления, по которым преобразуются поля смещений, принадлежат волновым векторам  $K = (\vec{K}, 0)$ . Следовательно, подгруппа трансляций в  $V_f$  представляется единичным оператором. Эти трансляции образуют инвариантную подгруппу, и искомые представления совпадают с неприводимыми представлениями фактор-группы; фактор-группа изоморфна группе  $G_3$ , образованной элементами  $g_3$  из  $(g_3, g_f) \in G$ . Следовательно, нормальные моды можно классифицировать по неприводимым представлениям  $G_3$ , т.е. трехмерной группы. Чтобы определить колебательное представление этой группы, рассмотрим, как преобразуются положения атомов (3.1) под действием  $(g_3, g_f)$ . Так как  $(g_3, g_f) \in G$ , то

$$\begin{aligned} R_3 \cdot \tilde{R}(\tilde{n}, \alpha) + \tilde{v}_3 &= \tilde{R}(\tilde{n}', \alpha'), \\ R_f \cdot \tilde{v} + \tilde{v}_f &= \tilde{v}'. \end{aligned} \quad (5.1)$$

Здесь элемент пространственной группы  $g_{3(f)}$  образован элементом точечной группы  $R_{3(f)}$  и соответствующей ему непримитивной

трансляцией  $\vec{v}_{\alpha(\tilde{\tau})}$ . Тогда

$$R_3 \tilde{U}(\tilde{n}, \infty, \tilde{\tau}) = \tilde{U}'(\tilde{n}; \infty, \tilde{\tau}') \quad (5.2)$$

и отсюда:

$$\begin{aligned} \tilde{U}'(\infty, \tau + \Delta \tilde{\tau}') \exp(-i\tilde{\tau}'\tilde{n}') &= \\ = \exp(i\tilde{\tau}\tilde{n}) R_3 \tilde{U}(\infty, \tilde{\tau} + \Delta \tilde{\tau}), \end{aligned} \quad (5.3a)$$

$$\tilde{U}(\infty, \tilde{\tau}') = R_3 \tilde{U}(\infty, \tilde{\tau}' - \tilde{\tau}^*)$$

$$= \exp[i(R_3 \tilde{\tau} - \tilde{\tau}^*) \tilde{U}(\infty) + i\tilde{\tau}^* \tilde{v}_I], \quad (5.3b)$$

где  $\tilde{U}(\infty) = R_3 \tilde{R}(\tilde{n}, \infty) + \tilde{v}_3 - \tilde{R}(\tilde{n}, \infty)$  — элемент решетки  $\Lambda$ . Согласно (5.3b), поля смещений с волновым вектором  $\tilde{\tau}$  образуют представление группы  $\tilde{\Lambda}$  такое, что

$$R_3 \tilde{\tau} = \tilde{\tau} (\text{mod } \Lambda^*).$$

Тогда характер колебательного представления с волновым вектором  $\tilde{\tau}$  есть:

$$Sp(g_3, g_I) = Sp(R_3) \sum_{\tilde{\tau} (R_3 \tilde{\tau} = \tilde{\tau}^*, \infty)} \exp[i(\tilde{\tau} - \tilde{\tau}^*) \tilde{U}(\infty) - i\tilde{\tau}^* \tilde{v}_I]. \quad (5.4)$$

Для вращательных мод правую часть надо умножить на  $\det R_3$ .

## 5.2. Правила отбора.

Трансформационные свойства нормальных мод связаны с правилами отбора также, как и в обычных кристаллах. Рассмотрим комбинационное рассеяние света (КРС). Электрическое поле световой волны можно представить как векторное поле с компонентами только в  $V_3$ . Оно преобразуется согласно группе векторов  $\tilde{\Lambda} = 0$  (если считать длину волны света бесконечно большой) и описывается представлением, заданным компонентами  $R_3$  элементов  $G$ .

Вклад в свободную энергию, обусловленный процессом КРС, равен:

$$\begin{aligned} F &= \sum_i \alpha_{ijp}(\tilde{n}, \infty, 0) E_i E_j u_p(\tilde{n}, \infty, 0) = \\ &= \sum_{\tilde{\tau}^*} U_p(\infty, \tilde{\tau}^*) \frac{\omega_{up}(\tilde{n}, \infty, 0)}{\sqrt{m(\tilde{\tau})}} E_i E_j \exp[-i(\tilde{\tau} + \tilde{\tau}^* \tilde{\tau}^*) \tilde{n}], \end{aligned} \quad (5.5)$$

где  $\alpha_{ijp}$  — производная поляризуемости кристалла по малому смещению  $u_p(\tilde{n}, \infty, 0)$ . Из (5.5) следует, что  $F \neq 0$  если  $\tilde{\tau} = \tilde{\tau}^*$ . Таким образом, кроме мод с  $\tilde{\tau} = 0$  в спектре КРС становятся активными моды с  $\tilde{\tau} = \tilde{\tau}^* \neq 0$  ( $\tilde{\tau}^* \neq D^*$ ). Подставляя это в (5.4), получим, что для колебаний, активных в КРС:

$$Sp(g_3, g_I) = Sp(R_3) \sum_{\tilde{\tau} (R_3 \tilde{\tau} = \tilde{\tau}^*, \infty)} \exp(i\tilde{\tau}^* \tilde{v}_I). \quad (5.6)$$

Правила отбора зависят также от вращательной симметрии мод. Мода может быть активной, если она соответствует неприводимому представлению, которое является компонентой представления симметричного тензора второго ранга.

## § 6. Вывод правил отбора для КРС в несоразмерных фазах некоторых сегнетоэлектриков.

### 6.1. $K_2 Se D_4$ .

Кристалл  $K_2 Se D_4$  является несоразмерным в температурном интервале 93 К — 130 К. Выше 130 К его пространственная группа  $G_3 = Pn\bar{a}m$  с четырьмя молекулами на ячейку. Переход в несоразмерную фазу обусловлен конденсацией мягкой моды симметрии  $\Sigma_2$  в точке  $\tilde{q} = (z - \delta) \tilde{a}_z^*/3 = \alpha \tilde{a}_z^*$  [II]. Разложение тензорного представления на неприводимые в парофазе:

$$\Gamma_{Kp} = 3A_9 + B_{1g} + B_{2g} + B_{3g}. \quad (6.1)$$

И соответственно в несоразмерной фазе:

$$\Gamma_{xp} = 3\Gamma_{+++} + \Gamma_{++-} + \Gamma_{+-+} + \Gamma_{-+-}. \quad (6.2)$$

Генераторы группы  $G$  (см. Приложение):

$$\begin{pmatrix} -1 & 0 & 0 & 0 \\ 0 & 1 & 0 & 0 \\ 0 & 0 & 1 & 0 \\ 0 & 0 & 0 & -1 \end{pmatrix} \left( \frac{1}{2}; \frac{1}{2}; \frac{1}{2}; \frac{\alpha}{2} \right) = (\sigma_x, -1) \leftrightarrow \sigma_x, \quad (6.3a)$$

$$\begin{pmatrix} 1 & 0 & 0 & 0 \\ 0 & -1 & 0 & 0 \\ 0 & 0 & 1 & 0 \\ 0 & 0 & 0 & 1 \end{pmatrix} \left( \frac{1}{2}; \frac{1}{2}; 0; \frac{1-\alpha}{2} \right) = (\sigma_y, 1) \leftrightarrow \sigma_y, \quad (6.3b)$$

$$\begin{pmatrix} 1 & 0 & 0 & 0 \\ 0 & 1 & 0 & 0 \\ 0 & 0 & -1 & 0 \\ 0 & 0 & 0 & 1 \end{pmatrix} \left( 0; 0; \frac{1}{2}; \frac{1}{2} \right) = (\sigma_z, 1) \leftrightarrow \sigma_z. \quad (6.3c)$$

Характеры неприводимых представлений группы  $G$  приведены в таблице I. Преобразования положений атомов при операциях группы  $G$  показаны в табл.2.

Рассмотрим нормальные колебания атомов  $K_2SeD_4$  в несоразмерной фазе при  $\tilde{\beta}^* = D$ . Согласно (5.6), характеры колебательного представления для трансляционных мод:

$$\chi(36, 0, 0, 12, 0, 0, 0, 0), \quad (6.4a)$$

и для ориентационных:

$$\chi(12, 0, 0, -4, 0, 0, 0, 0). \quad (6.4b)$$

Звезда  $\tilde{\beta} = 0$  имеет колебательное представление:

$$\begin{aligned} \Gamma_{\text{кол.}} = & 7(\Gamma_{+++} + \Gamma_{++-} + \Gamma_{+-+} + \Gamma_{-+-}) + \\ & 5(\Gamma_{+--} + \Gamma_{-++} + \Gamma_{--+} + \Gamma_{--+}). \end{aligned} \quad (6.5)$$

В общем случае  $\tilde{\beta}^* = l\tilde{\beta}$  аналогичные вычисления с использованием (5.6) дают:

$$\begin{aligned} \Gamma_{\text{кол.}} = & [6 + (-1)^l] (\Gamma_{+++} + \Gamma_{++-} + \Gamma_{+-+} + \Gamma_{-+-}) + \\ & + [6 - (-1)^l] (\Gamma_{+--} + \Gamma_{-++} + \Gamma_{--+} + \Gamma_{--+}). \end{aligned} \quad (6.6)$$

Таким образом, полное число линий в компоненте тензора ИР в несоразмерной фазе равно  $[6 + (-1)^l]$  и обращается в бесконечность. Однако, если  $\epsilon \ll 1$  (см. (4.11)), то дисперсионные кривые фононов при переходе в несоразмерную фазу исчезают мало и, если  $\delta \ll 1$ , как в большинстве известных сейчас несоразмерных сегнетоэлектриков, то частоты линий, соответствующих  $l > 5$ , будут близки к частотам с  $l' = l - 5$  и поэтому суммирование по  $l$  можно ограничить  $l = 5$ . Учет  $l > 5$  приводит к уширению линий с  $l \leq 5$ , а так как при  $\epsilon \ll 1$ ,  $\delta \ll 1$ , их интенсивность мала и разность частот незначительна, то этот вклад может быть мало заметным.

Несколько больший эффект можно ожидать для низкочастотного колебания, соответствующего фазону. В спектрах мандельштам-брюллюновского рассеяния ему должна соответствовать линия с уширенным высокочастотным краем. Относительная величина уширения будет значительнее по сравнению с оптическими колебаниями из-за более низкой частоты и более крутой дисперсионной кривой.

Ограничившись  $l = 5$ , получим, что в каждой компоненте тензора ИР несоразмерной фазы можно наблюдать 36 линий, что совпадает с числом линий в сегнетофазе ( $\alpha = 1/3$ , то есть  $\delta = 0$ ). Это действительно наблюдалось в ряде работ (см., например, [12]), но до сих пор не находило объяснения. При  $\delta = 0$  линии  $l > 5$  и  $l \leq 5$  совпадают точно и вышеупомянутое уширение должно исчезнуть. Резкое увеличение  $\epsilon$  при этом переходе может существенно изменить спектр, однако число наблюдаемых линий ИР не изменяется. Очевидно, что аналогичные эффекты можно наблюдать и в изоморфных  $K_2SeD_4$  кристаллах ( $Rb_2ZnCl_4$ ,

$Rb_2 Be Br_4$  и т.д.).

### 6.2. $(NH_4)_2 BeF_4$ .

Используя результаты [13], методом, изложенным в Приложении, легко получить, что группы  $G$  несоразмерных фаз  $K_2 SeD_4$  и  $(NH_4)_2 BeF_4$  совпадают, если в (6.3) подставить:

$$\alpha = \frac{1-\delta}{2}.$$

(6.7)

Характер колебательного представления для трансляционных мод:

$$\chi(36, 0, 0, \pm 2, 0, 0, 0, 0), \quad (6.8a)$$

и для ориентационных:

$$\chi(36, 0, 0, -\pm 2, 0, 0, 0, 0). \quad (6.8b)$$

Характеры неприводимых представлений совпадают с приведенными в таблице I. Звезды  $\tilde{B}=0$  и  $\tilde{B}=\tilde{B}_2$  имеют представление:

$$\begin{aligned} \Gamma_{\text{нп.}} &= 9(\Gamma_{+++-} + \Gamma_{+-+-} + \Gamma_{-+--} + \Gamma_{--+}) + \\ &+ 9(\Gamma_{----} + \Gamma_{----} + \Gamma_{----} + \Gamma_{----}). \end{aligned} \quad (6.9)$$

Аналогично  $K_2 SeD_4$  и с учетом (6.7), ограничивающейся  $\ell=3$ , получим, что в несоразмерной и сегнетоэлектрической фазах должно наблюдаться 36 линий в каждой компоненте тензора КР.

ТАБЛИЦА I.  
ХАРАКТЕРЫ НЕПРИВОДИМЫХ ПРЕДСТАВЛЕНИЙ ГРУППЫ  $G$   
ДЛЯ  $K_2 SeD_4$  И ИЗОМОРФНЫХ КРИСТАЛЛОВ

	$\epsilon (\sigma_z, \epsilon) (\sigma_y, \epsilon) (\sigma_z, \epsilon) (\sigma_y, \epsilon) / (\sigma_z, \epsilon) (\sigma_y, \epsilon)$	Активность в компонентах тензора КР и ИК-положений				
$\Gamma_{+++}$	1	1	1	1	1	$\alpha_{xx}$
$\Gamma_{+--}$	1	-1	-1	-1	-1	$\alpha_{xy}$
$\Gamma_{+-+}$	1	-1	1	-1	1	$\alpha_{xz}$
$\Gamma_{-++}$	1	1	-1	1	-1	$\alpha_{yz}$
$\Gamma_{---}$	1	-1	-1	-1	-1	$\alpha_{zz}$
$\Gamma_{----}$	1	1	1	-1	1	$\rho_x$
$\Gamma_{----}$	1	-1	1	-1	-1	$\rho_y$
$\Gamma_{----}$	1	1	-1	1	-1	$\rho_z$

ТАБЛИЦА 2  
ПРЕОБРАЗОВАНИЯ ПОЛОЖЕНИЙ АТОМОВ  $K_2 SeD_4$   
ПОД ДЕЙСТВИЕМ ОПЕРАЦИЙ СИММЕТРИИ ГРУППЫ  $G$

$E$	K1	K2	K3	K4	K5	K6	K7	K8	$(SeD_4)2$	$(SeD_4)4$	$(SeD_4)3$
$(\sigma_x, -x)$	3	4	1	2	7	8	5	6	3	4	1
$(\sigma_y, x)$	2	1	4	3	6	5	8	7	2	1	4
$(\sigma_z, z)$	1	2	3	4	5	6	7	8	1	2	3
$(i, -x)$	4	3	2	1	8	7	6	5	4	3	2
$(C_{\infty}, z)$	2	1	4	3	6	5	8	7	2	1	4
$(C_V, -x)$	3	4	1	2	7	8	5	6	3	4	1
$(C_2, -z)$	4	3	2	1	8	7	6	5	4	3	2

- 18 -

### § 7. Заключение

В настоящее время теоретико-групповые методы получили широкое распространение для объяснения физических свойств кристаллов. Применение этих методов для несоразмерных фаз стало возможным лишь в последнее время, когда появились методы описания их структуры с помощью  $n$ -мерных групп. В [15, 16] использование этого аппарата позволило получить правила отбора для генерации второй гармоники и инфракрасного поглощения. Проведенное в настоящей работе рассмотрение динамики решетки и симметрии её колебаний позволило классифицировать линии спектра комбинационного рассеяния в несоразмерных фазах. Изложенный метод иллюстрируется на примере кристаллов  $K_2 SeD_4$ ,  $(NH_4)_2 SeF_4$ , для которых построены четырехмерные пространственные группы, найдены характеры колебательного представления и выведены правила отбора.

- 19 -

## ПРИЛОЖЕНИЕ

Построение  $3+d$ -мерной пространственной группы модулированного кристалла.

Элемент симметрии  $\mathcal{G} = (\mathcal{G}_3, \mathcal{G}_I)$   $3+d$ -мерной группы  $G$  модулированного кристалла должен удовлетворять условию:

$$g \mathcal{R}(\vec{R}, \omega, \vec{\varepsilon}) = \mathcal{R}(\vec{R}', \omega', \vec{\varepsilon}'), \quad (\text{П.1})$$

Отсюда следует, что

$$g_3 \vec{\mathcal{R}}_o(\vec{R}, \omega) = \vec{\mathcal{R}}_o(\vec{R}, \omega), \quad (\text{П.2})$$

то есть

$$\mathcal{G}_3 \in \mathcal{G}_3, \quad (\text{П.3})$$

$$R_3 \vec{q} = R_I \vec{q}, \quad (\text{П.4})$$

где  $R_3$ ,  $R_I$  - элементы точечных групп, соответствующие элементам  $\mathcal{G}_3$ ,  $\mathcal{G}_I$  пространственных групп,

$$R_3 f(\vec{q}, \omega) = f(\vec{q}', \omega') \exp[i(R_3, R_I) \vec{q} \cdot \vec{v} + ikF(\omega')], \quad (\text{П.5})$$

где  $\vec{q} = (\vec{q}, \vec{\theta}_z^*)$ ,  $\vec{q}' = \vec{q}' - R_3 \vec{q}$  - вектор решетки  $\Lambda^*$ ,  $\vec{v} = (\vec{v}_z, \vec{\vartheta}_I)$ . Равенства (П.2) и (П.3) означают, что исходная структура должна быть инвариантна относительно преобразований группы  $G$ . (П.4) и (П.5) эквивалентны требованию инвариантности волны модуляции относительно этой группы.

(П.3) определяет группу  $\mathcal{G}_3$ , т.е. элементы  $\mathcal{G}_3$  группы  $G$ . (П.4) задает  $3+d$ -мерную точечную группу, и (П.5) - непримитивные трансляции, соответствующие её элементам. Таким образом, группа  $G$  полностью построена. Так, например, для кристалла  $K_2SeD_4$  известно, что пространственная группа

$\mathcal{G}_3 = Pn\bar{a}m$  с генераторами:

$$\left\{ \begin{array}{|c|c|} \hline 1 & 0 & 0 \\ 0 & 1 & 0 \\ 0 & 0 & 1 \\ \hline \end{array} \right| \left( \frac{1}{2}; \frac{1}{2}; \frac{1}{2} \right) \} = \sigma_x, \quad (\text{П.6a})$$

$$\left\{ \begin{array}{|c|c|} \hline 1 & 0 & 0 \\ 0 & -1 & 0 \\ 0 & 0 & 1 \\ \hline \end{array} \right| \left( \frac{1}{2}; \frac{1}{2}; 0 \right) \} = \sigma_y, \quad (\text{П.6b})$$

$$\left\{ \begin{array}{|c|c|} \hline 1 & 0 & 0 \\ 0 & 1 & 0 \\ 0 & 0 & -1 \\ \hline \end{array} \right| \left( 0; 0; \frac{1}{2} \right) \} = \sigma_z. \quad (\text{П.6c})$$

Согласно (П.4) и так как

$$\vec{q} = (1-\delta) \vec{a}_z^*/3 = \omega \vec{a}_z^*$$

генераторы точечной группы несоразмерной фазы есть:

$$\left\{ \begin{array}{|c|c|} \hline -1 & 0 & 0 \\ 0 & 1 & 0 \\ 0 & 0 & 1 \\ \hline \end{array} \right| \left( \sigma_x, -1 \right), \quad (\text{П.7a})$$

$$\left\{ \begin{array}{|c|c|} \hline 1 & 0 & 0 \\ 0 & -1 & 0 \\ 0 & 0 & 1 \\ \hline \end{array} \right| \left( \sigma_y, 1 \right), \quad (\text{П.7b})$$

$$\left\{ \begin{array}{|c|c|} \hline 1 & 0 & 0 \\ 0 & 1 & 0 \\ 0 & 0 & -1 \\ \hline \end{array} \right| \left( \sigma_z, 1 \right). \quad (\text{П.7c})$$

Пользоваться непосредственно равенством (П.6) для получения непримитивных трансляций группы  $G$  не всегда удобно, т.к. это требует знания набора функций  $\tilde{f}(\vec{q}, \alpha)$ , то есть амплитуды модуляции. Упростить эту задачу можно, если учесть симметрию этого искажения решётки. Так для  $K_2SeD_4$  модуляция структуры обусловлена конденсацией фонона симметрии  $\Sigma_2$ . Этому неприводимому представлению звезды вектора  $\vec{q}$  соответствуют характеристики:

$$\chi(E, \sigma_y, \sigma_z, c_x) = (1, -1, -1, 1), \quad (\text{П.8})$$

следовательно, для  $\sigma_y$  и  $\sigma_z$

$$\sigma \tilde{f}(\vec{q}, \alpha) = -\tilde{f}(\vec{q}, \alpha).$$

Т.к. вектор  $\vec{q}$  инвариантен относительно этих элементов симметрии, то  $\tilde{v}_f = 0$ , и отсюда имеем:

$$-1 = e^{i\phi} (-i \vec{b}_z^* \vec{v}_f)$$

или  $\vec{v}_f = \vec{b}_z / 2$ .

Тогда в 4-мерном базисе:

$$\begin{aligned} &(\vec{a}_1, (1-\alpha)\vec{b}_z / 3), \\ &(\vec{a}_2, 0), \\ &(\vec{a}_3, 0), \\ &(\vec{a}_4, 0), \end{aligned}$$

построенном в соответствии с (2.4), получим, что для  $(\sigma_y, \ell)$

$$v_f = (1-\alpha)/2,$$

и для  $(\sigma_z, \ell)$

$$v_f = 1/2.$$

Кроме того, отметим, что так как направления  $\vec{q}$  и  $-\vec{q}$  эквивалентны, то элементу  $(\ell, -1)$  соответствует непримитивная трансляция  $v_f = 0$ . Это позволяет построить всю группу  $G$ ; её генераторы:

$$\left\{ \begin{array}{l|l} \begin{matrix} -1 & 0 & 0 & 0 \\ 0 & 1 & 0 & 0 \\ 0 & 0 & 1 & 0 \\ 0 & 0 & 0 & -1 \end{matrix} & \left( \frac{1}{2}; \frac{1}{2}; \frac{1}{2}; -\frac{\alpha}{2} \right) \end{array} \right\} = (\sigma_y, -1), \quad (\text{П.9a})$$

$$\left\{ \begin{array}{l|l} \begin{matrix} 1 & 0 & 0 & 0 \\ 0 & -1 & 0 & 0 \\ 0 & 0 & 1 & 0 \\ 0 & 0 & 0 & 1 \end{matrix} & \left( \frac{1}{2}; \frac{1}{2}; 0; \frac{1-\alpha}{2} \right) \end{array} \right\} = (\sigma_z, 1), \quad (\text{П.9b})$$

$$\left\{ \begin{array}{l|l} \begin{matrix} 1 & 0 & 0 & 0 \\ 0 & 1 & 0 & 0 \\ 0 & 0 & -1 & 0 \\ 0 & 0 & 0 & 1 \end{matrix} & \left( 0; 0; \frac{1}{2}; \frac{1}{2} \right) \end{array} \right\} = (\sigma_y, 1). \quad (\text{П.9c})$$

Важно подчеркнуть, что равенство (П.4) существенно ограничивает возможные направления модуляции структуры кристалла. Вектор  $\vec{q}$ , как следует из (П.4), не может иметь проекций на симметрично неэквивалентные оси кристалла. В противном случае спектр векторов  $\{\vec{q}\}$  должен содержать  $\vec{q} = 0$ , то есть группа  $G_{\text{з}}$  не совпадает с группой исходной немодулированной фазы кристалла и переход в несоразмерную фазу сопровождается также однородным по пространству искажением структуры. Такая ситуация наблюдается, видимо, в недавно открытой несоразмерной фазе бифенила [17].

## ЛИТЕРАТУРА

1. V.A. Koptzik. *Informal Communications in Mathematical Chemistry*, 1980, 3, 1.
2. А.В.Шубников, В.А.Копчик. Симметрия в науке и искусстве. М., "Наука", 1972.
3. P.M. de Wolff. *Acta Cryst.*, 1974, A30, 197.
4. A.Janner, T.Janssen. *Phys. Rev.*, 1977, B15, 643.
5. А.В.Шубников. Симметрия и антисимметрия точечных фигур. М., Изд. АН СССР, 1951.
6. Н.В.Белов, Т.С.Кунцевич. *Acta Cryst.*, 1971, A27, 531.
7. Е.Вильсон, Дж.Дешиус, П.Кроес. Теория колебательных спектров молекул. М., ИЛ, 1960.
8. В.Ф.Шабанов, А.Н.Вторин, С.Я.Ветров. Применение теории симметрии к изучению оптических свойств несоразмерных структур сегнетоэлектрических кристаллов. Препринт ИФСО-103Ф, Красноярск, 1979.
9. A.D. Bruce, R.A. Cowley. *J. Phys. C*, 1978, 11, 3577.
10. W.B. Walker. *Can. J. Phys.*, 1978, 56, 127.
11. M. Iizumi, J.D. Axe, G. Shirane, K. Shimacka. *Phys. Rev.*, 1977, B25, 4392.
12. M. Wada, A. Sawada, Y. Ishibashi, Y. Takagi. *J. Phys. Soc. Japan*, 1977, 42, 1229.
13. M. Iizumi, K. Gesi, *Sol. State Commun.*, 1977, 22, 57.
14. A.H. Moudden, F. Denoyer, J.P. Benoit, F. Fitzgerald. *Sol. State Commun.*, 1978, 28, 575.
15. T. Janssen. *J. Phys. C*, 1979, 12, 5381.
16. А.Н.Вторин, В.Ф.Шабанов, К.С.Александров. ЖЭТФ, 1979, 77, 2358.
17. H. Calleau, F. Monssa, J. Mons. *Solid State Commun.*, 1979, 31, 521.